

## РАССЕЯНИЕ ИЗЛУЧЕНИЯ

# Круговой дихроизм в присутствии резонансных Ми-рассеивателей

Е.Е.Городничев, Д.Б.Рогозкин

*Рассмотрено распространение неполяризованного света в среде с круговым дихроизмом, в которую помещены оптически изотропные Ми-частицы. В предположении, что многократное рассеяние в такой системе происходит в режиме пространственной диффузии, вычислена степень поляризации прошедшего излучения. Показано, что добавление Ми-частиц в однородный, обладающий естественной оптической активностью образец может приводить к значительному усилению наблюдаемого кругового дихроизма – увеличению различия между интенсивностями прошедшего через среду право- и левополяризованного света. При выполнении первого условия Керкера для Ми-частиц эффект может усиливаться по сравнению с однородным образцом почти в десять раз.*

**Ключевые слова:** многократное рассеяние, поляризованный свет, круговой дихроизм, рассеяние Ми.

## 1. Введение

В среде с естественной оптической активностью может наблюдаться эффект кругового дихроизма – различие показателей поглощения света для правой и левой круговых поляризаций (см., напр., [1]). Круговой дихроизм весьма чувствителен к конфигурации сложных молекул и к конформационным переходам в них. Поэтому его измерение является одним из важных методов стереохимического анализа [2, 3] и широко используется для исследования вторичной структуры биополимеров, в частности таких, как пептиды и нуклеиновые кислоты [4, 5].

В связи с тем, что основная экспериментальная трудность количественного определения характеристик оптической активности различных веществ связана со слабым проявлением эффекта [4], представляют интерес различные способы его усиления [6–9] (например, гетеродинный приём [10]).

В последнее десятилетие, в контексте задач нанофотоники, были подробно изучены оптические свойства частиц с большим показателем преломления в видимом и ближнем ИК диапазонах [11–19]. Было показано (см., напр., [11–13]), что в окрестности первых двух резонансов Ми (относительно резонансов Ми см., напр., [20, 21]) может быть выполнено так называемое первое условие Керкера – равенство электрической и магнитной поляризуемостей частицы [22]. Для частиц с параметрами, удовлетворяющими условию Керкера, рассеяние света назад подавлено, и, кроме того, циркулярно поляризованный

свет не меняет свою поляризацию при рассеянии [13, 23–25]. Деполаризация волн настолько мала, что становится заметной только после большого числа актов рассеяния. При диффузии света в такой среде затухание циркулярной поляризации происходит аномально медленно [23–25]. Имеющиеся результаты [13, 23–25] позволяют предположить, что добавление в однородную среду Ми-частиц с параметрами, удовлетворяющими условию Керкера, с одной стороны, вызовет значительное увеличение длин путей фотонов в среде, а с другой стороны, не изменит состояние круговой поляризации распространяющихся в среде волн. Если однородная среда обладает круговым дихроизмом, то это приводит к существенному увеличению различия интенсивностей прошедших через среду волн с разной поляризацией. Закон изменения разности интенсивностей право- ( $I_R$ ) и левополяризованных ( $I_L$ ) волн в однородной среде  $|I_R - I_L|/(I_R + I_L) = \Delta\kappa L/2$  ( $\Delta\kappa$  – разность показателей поглощения соответствующих волн,  $L$  – толщина образца) должен трансформироваться при добавлении в неё рассеивателей в закон  $|I_R - I_L|/(I_R + I_L) = \Delta\kappa S_L/2$ , где  $S_L$  – средний путь световых лучей в образце. Поскольку в режиме диффузии пройденный ими путь намного превышает толщину образца,  $S_L \gg L$ , в рассматриваемом случае будет наблюдаться значительное увеличение отношения  $|I_R - I_L|/(I_R + I_L)$ . Аналогично таким системам, как «случайный лазер» (см., напр., [26]) и рассеивающие матрицы, используемые для измерения слабого поглощения в жидкостях и газах [27, 28], неупорядоченный ансамбль Ми-частиц действует как распределённый в пространстве резонатор, удлиняющий траектории световых лучей в исследуемом образце без изменения степени круговой поляризации.

В настоящей работе рассмотрено распространение первоначально неполяризованного света (некогерентной суперпозиции право- и левополяризованных волн) через систему рассеивающих центров, помещённых в среду с круговым дихроизмом. Предполагается, что оптические параметры частиц удовлетворяют первому условию Керкера. В диффузионном приближении вычислена зависи-

Е.Е.Городничев, Национальный исследовательский ядерный университет «МИФИ», Россия, 115409 Москва, Каширское ш., 31; e-mail: gorodn@theor.mephi.ru

Д.Б.Рогозкин, Национальный исследовательский ядерный университет «МИФИ», Россия, 115409 Москва, Каширское ш., 31; ВНИИ автоматики им. Н.Л.Духова, Россия, 127055 Москва, Сушцевская ул., 22

Поступила в редакцию 7 октября 2018 г., после доработки – 7 декабря 2018 г.

мость степени циркулярной поляризации прошедшего излучения от толщины образца. Показано, что, по сравнению со слоем однородной среды, в рассеивающем слое с большой оптической толщиной должно наблюдаться значительное усиление кругового дихроизма. Проанализирована зависимость фактора усиления от оптических параметров системы.

## 2. Транспортное уравнение в рассеивающей среде с круговым дихроизмом

Поскольку в большинстве практических ситуаций естественную оптическую активность можно считать малой, то при вычислении матрицы рассеяния на Ми-частицах ею можно пренебречь. Как показано в [23–25], вблизи первой точки Керкера (определяемой отношением  $an/\lambda \approx 0.436$ , где  $a$  и  $n$  – радиус и относительный показатель преломления частиц,  $\lambda$  – длина волны света) матрица однократного рассеяния имеет диагональный вид,

$$\hat{d} = \begin{pmatrix} a_1 & 0 & 0 & 0 \\ 0 & a_1 & 0 & 0 \\ 0 & 0 & a_2 & 0 \\ 0 & 0 & 0 & a_2 \end{pmatrix}, \quad (1)$$

где элементы  $a_1$  и  $a_2$  являются функциями косинуса угла  $\gamma$  однократного рассеяния и выражаются через амплитуды рассеяния  $A_{\parallel}$  и  $A_{\perp}$  кросс-поляризованных волн:  $a_1 = (|A_{\parallel}|^2 + |A_{\perp}|^2)/2$ ,  $a_2 = \text{Re} A_{\parallel} A_{\perp}^*$  [27].

Право- и левополяризованные волны представляют собой собственные моды сред с круговым дихроизмом [29]. Поэтому многократное рассеяние света в таких средах удобно описывать вектором Стокса в циркулярном представлении [30–33]:

$$\hat{I} = \frac{1}{\sqrt{2}} \begin{pmatrix} Q - iU \\ I - V \\ I + V \\ Q + iU \end{pmatrix}, \quad (2)$$

где  $I$ ,  $Q$ ,  $U$  и  $V$  – стандартные параметры Стокса в линейном представлении [20]. Величины  $I \pm V$  с точностью до коэффициента совпадают с интенсивностями право- и левополяризованных волн:  $I_{R,L} = (I \pm V)/2$ .

Для матрицы рассеяния (1) векторное уравнение переноса распадается на две независимые системы уравнений – одна для параметров Стокса  $Q \mp iU$ , описывающих линейную поляризацию рассеянного света, а другая для циркулярно поляризованных компонент  $I_{R,L}$  [23–25]. Поэтому при выполнении первого условия Керкера линейная и циркулярная поляризации эволюционируют в процессе многократного рассеяния независимо друг от друга.

Ниже нас будет интересовать распространение первоначально неполяризованного света (некогерентной суперпозиции право- и левополяризованных волн). Состояние поляризации рассеянного света описывается в этом случае только системой уравнений для интенсивностей  $I_R$  и  $I_L$  [31–35]. Применительно к однородной среде с круговым дихроизмом, в которую помещены Ми-рассеиватели с параметрами, соответствующими первому условию Керкера, уравнения для  $I_R$  и  $I_L$  имеют вид

$$\begin{aligned} & \left( \mu \frac{\partial}{\partial z} + n_0 \sigma + \kappa \right) I_R(z, \mu) - \frac{\Delta \kappa}{2} I_R(z, \mu) \\ & = n_0 \int d\mathbf{n}' a_+( \mathbf{n}\mathbf{n}' ) I_R(z, \mu') + n_0 \int d\mathbf{n}' a_-( \mathbf{n}\mathbf{n}' ) I_L(z, \mu'), \end{aligned} \quad (3)$$

$$\begin{aligned} & \left( \mu \frac{\partial}{\partial z} + n_0 \sigma + \kappa \right) I_L(z, \mu) + \frac{\Delta \kappa}{2} I_L(z, \mu) \\ & = n_0 \int d\mathbf{n}' a_+( \mathbf{n}\mathbf{n}' ) I_L(z, \mu') + n_0 \int d\mathbf{n}' a_-( \mathbf{n}\mathbf{n}' ) I_R(z, \mu'), \end{aligned} \quad (4)$$

где  $a_{\pm}(\mathbf{n}\mathbf{n}') = [a_1(\mathbf{n}\mathbf{n}') \pm a_2(\mathbf{n}\mathbf{n}')]/2$ ;  $\mu = \mathbf{n}\mathbf{n}_{\text{int}}$ ;  $\mu' = \mathbf{n}'\mathbf{n}_{\text{int}}$ ;  $\mathbf{n}$  – единичный вектор вдоль направления распространения света;  $\mathbf{n}_{\text{int}}$  – единичный вектор внутренней нормали к поверхности образца;  $\sigma$  – сечение упругого рассеяния света на Ми-частицах;  $n_0$  – их концентрация;  $\kappa$  – средний показатель поглощения света в среде [4, 29]; ось  $z$  направлена вдоль  $\mathbf{n}_{\text{int}}$ .

## 3. Пространственная диффузия циркулярно поляризованных компонент излучения

Запишем решение системы (3), (4) в виде разложения в ряд по полиномам Лежандра:

$$I_{R,L}(z, \mu) = \sum_{l=0}^{\infty} \frac{2l+1}{4\pi} I_{R,L}(z, l) P_l(\mu). \quad (5)$$

Тогда для входящих в разложение (5) коэффициентов  $I_{R,L}(z, l)$  получим уравнения

$$\begin{aligned} & \frac{l}{2l+1} \frac{\partial I_R(z, l-1)}{\partial z} + \frac{l+1}{2l+1} \frac{\partial I_R(z, l+1)}{\partial z} \\ & + [\Sigma_{R}^{\text{tot}} - n_0 a_+(l)] I_R(z, l) = n_0 a_-(l) I_L(z, l), \end{aligned} \quad (6)$$

$$\begin{aligned} & \frac{l}{2l+1} \frac{\partial I_L(z, l-1)}{\partial z} + \frac{l+1}{2l+1} \frac{\partial I_L(z, l+1)}{\partial z} \\ & + [\Sigma_{L}^{\text{tot}} - n_0 a_+(l)] I_L(z, l) = n_0 a_-(l) I_R(z, l), \end{aligned} \quad (7)$$

где  $\Sigma_{R,L}^{\text{tot}} = n_0 \sigma + \kappa \mp \Delta \kappa/2$ ;

$$a_{\pm}(l) = \pi \int_{-1}^1 d\mu [a_1(\mu) \pm a_2(\mu)] P_l(\mu). \quad (8)$$

На режим распространения поляризованных по кругу компонент излучения существенно влияет соотношение между входящими в уравнения (6) и (7) оптическими параметрами среды. Как показано в [31–33, 36], за скорость деполаризации циркулярно поляризованного света отвечает коэффициент  $a_-(l=0)$ , который пропорционален сечению деполаризации:  $a_-(l=0) = \sigma_{\text{dep}}/2$ , где  $\sigma_{\text{dep}} = \int d\mathbf{n}' [a_1(\mathbf{n}\mathbf{n}') - a_2(\mathbf{n}\mathbf{n}')]$ . Эффект медленного изменения циркулярной поляризации [37–39] возникает, если сечение деполаризации  $\sigma_{\text{dep}}$  значительно меньше транспортного сечения упругого рассеяния:  $\sigma_{\text{dep}} \ll \sigma_{\text{tr}} = \int d\mathbf{n}' (1 - \mathbf{n}\mathbf{n}') a_1(\mathbf{n}\mathbf{n}')$  [24, 36]. В этой ситуации состояние циркулярной поляризации меняется на линейных масштабах, превышающих транспортную длину упругого рассеяния  $l_{\text{tr}} = (n_0 \sigma_{\text{tr}})^{-1}$ , т. е. в режиме пространственной диффузии излучения [31–33, 36].

Эффект медленного затухания циркулярной поляризации был обнаружен в экспериментах по рассеянию света в водной суспензии крупных (с размером, большим длины волны) частиц латекса [37–39]. Теоретическое описание результатов экспериментов [37–39], а также численного моделирования [38] было дано в [31–33].

Отношение  $\sigma_{\text{dep}}/\sigma_{\text{tr}}$  достигает аномально малых значений при рассеянии на частицах с большим показателем преломления, параметры которых удовлетворяют первому условию Керкера (типичные значения  $\sigma_{\text{dep}}/\sigma_{\text{tr}} \approx 10^{-3}$ ) [23–25]. Малость величины  $\sigma_{\text{dep}}/\sigma_{\text{tr}}$  обеспечивает максимальное увеличение длин путей световых лучей в среде без изменения состояния круговой поляризации излучения.

В условиях пространственной диффузии света в слабо поглощающей среде (считаем, что  $\kappa \ll n_0\sigma_{\text{tr}}$ ) угловое распределение интенсивности излучения оказывается близким к изотропному, и в разложениях (5) достаточно ограничиться первыми двумя слагаемыми с  $l = 0$  и  $1$  [40, 41] (для поляризованного света см. также [31, 32, 36]). В результате из (6) и (7) получим систему уравнений диффузионного типа для  $I_{R,L}(z) = I_{R,L}(z, l = 0)$ :

$$\left[ \frac{\partial^2 I_R(z)}{\partial z^2} - 3n_0\sigma_{\text{tr}}\Sigma_R I_R(z) \right] + \frac{3}{2}n_0^2\sigma_{\text{tr}}\sigma_{\text{dep}}I_L(z) = 0, \quad (9)$$

$$\left[ \frac{\partial^2 I_L(z)}{\partial z^2} - 3n_0\sigma_{\text{tr}}\Sigma_L I_L(z) \right] + \frac{3}{2}n_0^2\sigma_{\text{tr}}\sigma_{\text{dep}}I_R(z) = 0, \quad (10)$$

где  $\Sigma_{R,L} = \kappa + n_0\sigma_{\text{dep}}/2 \mp \Delta\kappa/2$ .

Граничные условия для уравнений диффузии (9) и (10) имеют вид

$$\left( I_{R,L} - z_0 \frac{dI_{R,L}}{dz} \right) \Big|_{z=0} = 0, \quad \left( I_{R,L} + z_0 \frac{dI_{R,L}}{dz} \right) \Big|_{z=L} = 0, \quad (11)$$

где  $z_0$  – экстраполированная длина. В приближении Маршакка ( $z_0 \approx 2l_{\text{tr}}/3$ ) из точного решения задачи Милна для изотропных рассеивателей получаем  $z_0 \approx 0.71l_{\text{tr}}$  [40, 41]. Для граничных условий (11) решение системы (9), (10) ищется стандартным образом (см., напр., [42]). Для источника в виде некогерентной суперпозиции право- и левополяризованных волн интенсивности поляризованных по кругу компонент прошедшего через слой толщиной  $L$  излучения можно представить как

$$I_{R,L}(L, \mu) = \frac{1}{4\pi} \left[ I_{R,L}(z) - \mu l_{\text{tr}} \frac{d}{dz} I_{R,L}(z) \right] \Big|_{z=L}, \quad (12)$$

где связь между  $I_{R,L}(z)$  и  $dI_{R,L}(z)/dz$  находится из граничного условия (11) и выражений

$$I_R(L) = \frac{1}{(1+\eta^2)} \left\{ (1+\eta) \frac{\varepsilon_-(l_{\text{tr}}+z_0)}{\sinh[\varepsilon_-(L+2z_0)]} - \eta(1-\eta) \frac{\varepsilon_+(l_{\text{tr}}+z_0)}{\sinh[\varepsilon_+(L+2z_0)]} \right\}, \quad (13)$$

$$I_L(L) = \frac{1}{(1+\eta^2)} \left\{ \eta(1+\eta) \frac{\varepsilon_-(l_{\text{tr}}+z_0)}{\sinh[\varepsilon_-(L+2z_0)]} + (1-\eta) \frac{\varepsilon_+(l_{\text{tr}}+z_0)}{\sinh[\varepsilon_+(L+2z_0)]} \right\}. \quad (14)$$

Здесь

$$\eta = \left[ \sqrt{(n_0\sigma_{\text{dep}})^2 + \Delta\kappa^2} - \Delta\kappa \right] / (n_0\sigma_{\text{dep}}),$$

а коэффициенты затухания  $\varepsilon_-$  и  $\varepsilon_+$  определяются выражением

$$\varepsilon_{\mp} = \sqrt{3n_0\sigma_{\text{tr}} \left\{ \kappa + \frac{1}{2} \left[ n_0\sigma_{\text{dep}} \mp \sqrt{(n_0\sigma_{\text{dep}})^2 + \Delta\kappa^2} \right] \right\}}. \quad (15)$$

В (15) величины  $\kappa + (1/2) \left[ n_0\sigma_{\text{dep}} \mp \sqrt{(n_0\sigma_{\text{dep}})^2 + \Delta\kappa^2} \right]$  играют роль эффективных показателей поглощения право- и левополяризованных волн в рассматриваемой среде. Если деполяризация пренебрежимо мала ( $n_0\sigma_{\text{dep}} \ll \Delta\kappa$ ), то возвращаемся к исходному определению показателей поглощения право- и левополяризованных волн в однородной среде:  $\kappa \mp \Delta\kappa/2$ . В противоположном случае ( $n_0\sigma_{\text{dep}} \gg \Delta\kappa$ ) разность эффективных показателей поглощения становится квадратичной по  $\Delta\kappa$ .

Суммарная интенсивность  $I = I_L + I_R$  и разность интенсивностей право- и левополяризованных волн  $I_L - I_R$  (четвёртый параметр Стокса  $V$ ) определяются соотношениями

$$I(L) = \frac{1}{1+\eta^2} \left\{ (1+\eta)^2 \frac{\varepsilon_-(l_{\text{tr}}+z_0)}{\sinh[\varepsilon_-(L+2z_0)]} + (1-\eta)^2 \frac{\varepsilon_+(l_{\text{tr}}+z_0)}{\sinh[\varepsilon_+(L+2z_0)]} \right\}, \quad (16)$$

$$V(L) = \frac{1-\eta^2}{1+\eta^2} \left\{ \frac{\varepsilon_+(l_{\text{tr}}+z_0)}{\sinh[\varepsilon_+(L+2z_0)]} - \frac{\varepsilon_-(l_{\text{tr}}+z_0)}{\sinh[\varepsilon_-(L+2z_0)]} \right\}. \quad (17)$$

В отсутствие кругового дихроизма ( $\Delta\kappa = 0$ ) формула (16) для интенсивности  $I$  превращается в известный результат скалярной теории (см., напр., [36]). Циркулярная поляризация при  $\Delta\kappa = 0$  не возникает, и четвёртый параметр Стокса (17) равен нулю ( $V = 0$ ).

#### 4. Обсуждение результатов

На практике характеризующая круговой дихроизм величина  $\Delta\kappa$  оказывается малой. Отношение  $\Delta\kappa/\kappa$  варьируется в диапазоне  $3 \times 10^{-4} - 3 \times 10^{-3}$  [4]. Минимальные значения сечения деполяризации в первой точке Керкера  $\sigma_{\text{dep}}$  составляют  $\sim 10^{-3}\sigma_{\text{tr}}$  [23–25]. Эти ограничения следует учитывать при выборе концентрации рассеивающих Ми-частиц.

Для наблюдения предлагаемого в настоящей работе эффекта усиления кругового дихроизма нужно, чтобы транспортный коэффициент рассеяния  $n_0\sigma_{\text{tr}}$  был наибольшим:  $n_0\sigma_{\text{tr}} \gg \max(\kappa, n_0\sigma_{\text{dep}}, \Delta\kappa)$ . Это обеспечивает максимальное удлинение путей фотонов при многократном рассеянии. Коэффициент деполяризации излучения в ансамбле Ми-частиц  $n_0\sigma_{\text{dep}}$  должен быть как можно меньше. Это необходимо для обеспечения регистрации различий в показателях поглощения право- и левополяризованных по кругу волн до возникновения деполяризации излучения из-за рассеяния. Таким образом, мы приходим к неравенствам, на основе которых должна выбираться концентрация Ми-рассеивателей:

$$n_0\sigma_{\text{tr}} \gg \kappa \gg n_0\sigma_{\text{dep}}. \quad (18)$$

С учётом приведённых выше оценок для величин  $\Delta\kappa/\kappa$  и  $\sigma_{\text{dep}}/\sigma_{\text{tr}}$  при выполнении условия (18) отношение  $\Delta\kappa \times (n_0\sigma_{\text{dep}})^{-1} \ll 1$  и входящие в (15)–(17) величины можно разложить в ряд по параметру  $\Delta\kappa/(n_0\sigma_{\text{dep}})$ .

В этом приближении выражения (16) и (17) приобретают вид

$$I(L) = 2 \frac{\varepsilon_I(l_{\text{tr}} + z_0)}{\sinh[\varepsilon_I(L + 2z_0)]}, \tag{19}$$

$$V(L) = -\frac{\Delta\kappa}{n_0\sigma_{\text{dep}}} \left\{ \frac{\varepsilon_I(l_{\text{tr}} + z_0)}{\sinh[\varepsilon_I(L + 2z_0)]} - \frac{\varepsilon_V(l_{\text{tr}} + z_0)}{\sinh[\varepsilon_V(L + 2z_0)]} \right\},$$

где

$$\varepsilon_I = \sqrt{3n_0\sigma_{\text{tr}}\kappa}; \quad \varepsilon_V = \sqrt{3n_0\sigma_{\text{tr}}(\kappa + n_0\sigma_{\text{dep}})}.$$

Степень циркулярной поляризации прошедшего излучения  $P_c = |V|/I$  определяется выражением

$$P_c = \frac{\Delta\kappa}{2n_0\sigma_{\text{dep}}} \left\{ 1 - \frac{\varepsilon_V \sinh[\varepsilon_I(L + 2z_0)]}{\varepsilon_I \sinh[\varepsilon_V(L + 2z_0)]} \right\}. \tag{20}$$

Формулу (20) можно представить в виде

$$P_c = \frac{1}{2} \Delta\kappa S_L, \tag{21}$$

где  $S_L$  по своему смыслу есть средняя длина пути, который проходят в среде фотоны без потери круговой поляризации. При  $l_{\text{tr}} \ll L < l_d$ , где  $l_d = (3n_0\sigma_{\text{tr}}\kappa)^{-1/2}$  – диффузионная длина [40, 41], путь  $S_L$  квадратично растёт с ростом толщины образца:  $S_L = L^2/l_{\text{tr}}$ . При  $l_d < L < l_{\text{circ}}$ , где  $l_{\text{circ}} = (\varepsilon_V - \varepsilon_I)^{-1}$  – длина затухания циркулярной поляризации из-за рассеяния [31–33, 36], квадратичный рост  $S_L$  сменяется линейным:  $S_L = L\sqrt{n_0\sigma_{\text{tr}}/(3\kappa)}$ . В пределе больших толщин,  $L > l_{\text{circ}}$ , средний путь  $S_L$  перестаёт зависеть от толщины образца:  $S_L = (n_0\sigma_{\text{dep}})^{-1}$ .

Наблюдать обсуждавшееся выше усиление кругового дихроизма можно в эксперименте, схема которого аналогична использованной при измерениях состояния поляризации в случае пропускания света через рассеивающие суспензии [37–39, 43–45]. Оптическую толщину можно варьировать, меняя длину  $L$  кюветы с исследуемым веществом или концентрацию  $n_0$  частиц в нём.

Результаты расчётов по формуле (20) степени циркулярной поляризации прошедшего пучка  $P_c$  как функции толщины  $L$  показаны на рис.1. Для сравнения там же приведена зависимость для степени поляризации при прохождении света через однородную (без рассеивателей) среду с круговым дихроизмом. Видно, что в представляющем интерес диапазоне толщин  $L$ , когда излучение ещё не полностью поглотилось в среде,  $\kappa L \leq 3-5$ , добавление в исходную среду рассеивающих и при этом слабо деполаризующих частиц приводит к заметному увеличению степени поляризации прошедшего излучения. Различия в значениях  $P_c$  для рассеивающей и однородной (без рассеивателей) сред удобно характеризовать фактором усиления  $\zeta = P_c/P_c(n_0 = 0)$ . В линейном по  $\Delta\kappa$  приближении  $\zeta = S_L/L$ . Результаты расчётов  $\zeta$  показаны на рис.2. Максимальное значение  $\zeta$  при выполнении условий (18) можно оценить как  $\zeta_{\text{max}} \approx 0.7\sqrt{n_0\sigma_{\text{tr}}/\kappa}$ . Для реалистических значений показателя поглощения среды и параметров Ми-частиц значение  $\zeta_{\text{max}}$  может достигать десяти. От-

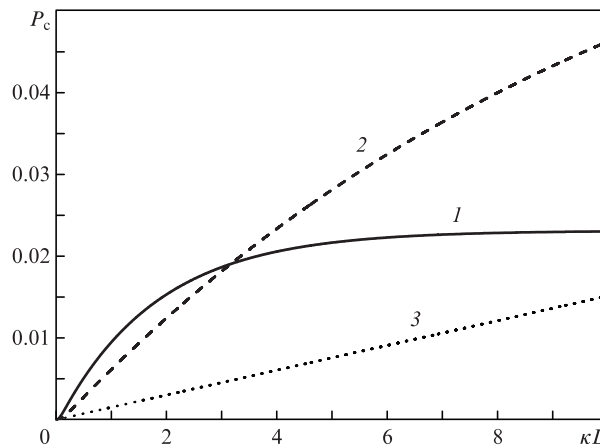


Рис.1. Степень циркулярной поляризации первоначально неполяризованного пучка света как функция толщины образца. Параметры среды:  $n_0\sigma_{\text{tr}}/\kappa = 100$  (1), 30 (2) и 0 (однородная среда, 3),  $\Delta\kappa/\kappa = 3 \times 10^{-3}$ ,  $\sigma_{\text{dep}}/\sigma_{\text{tr}} = 10^{-3}$ .

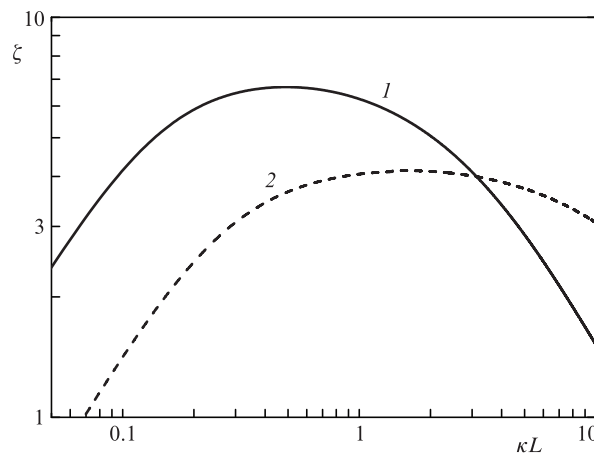


Рис.2. Фактор усиления  $\zeta$  как функция толщины образца. Параметры среды:  $n_0\sigma_{\text{tr}}/\kappa = 100$  (1) и 30 (2),  $\sigma_{\text{dep}}/\sigma_{\text{tr}} = 10^{-3}$ .

метим, что характер зависимости фактора усиления от концентрации рассеивателей заметно меняется при изменении толщины (рис.3). Для относительно тонких образцов  $\zeta$  растёт с увеличением концентрации. С ростом толщины  $L$  зависимость меняется на противоположную – фактор усиления уменьшается по мере увеличения  $n_0$ . Максимальное значение фактора  $\zeta_{\text{max}}$  достигается при

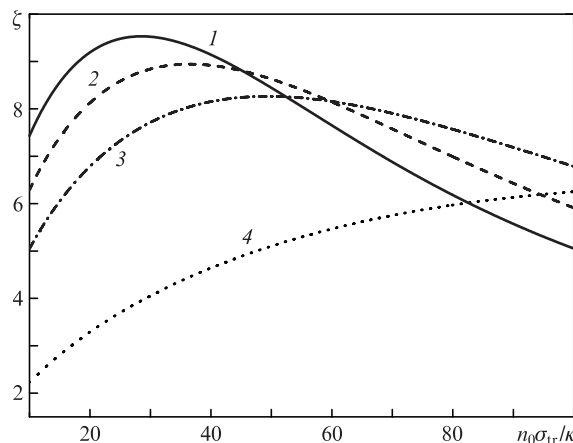


Рис.3. Фактор усиления  $\zeta$  как функция концентрации рассеивателей. Параметры среды:  $\kappa L = 3$  (1), 2.5 (2), 2 (3) и 1 (4),  $\Delta\kappa/\kappa = 3 \times 10^{-3}$ ,  $\sigma_{\text{dep}}/\sigma_{\text{tr}} = 10^{-3}$ .

$n_0^{\max} \approx (0.6 - 0.8)[\kappa/(\sigma_{\text{tr}}\sigma_{\text{dep}}^2L^2)]^{1/3}$ , когда толщина образца составляет примерно половину длины затухания циркулярной поляризации:  $L \approx (0.4 - 0.6)l_{\text{circ}}$ . Из рис.3 видно, что с ростом концентрации Ми-частиц максимальное значение  $\zeta$  увеличивается, а положение пика смещается в область меньших толщин.

## 5. Заключение

В настоящей работе рассмотрено распространение первоначально неполяризованного света (некогерентной суперпозиции право- и левополяризованных волн) в среде с круговым дихроизмом, содержащей случайным образом расположенные Ми-частицы. Показано, что в присутствии рассеивателей увеличивается степень циркулярной поляризации в прошедшем пучке. Эффект должен сильнее всего проявляться при выполнении первого условия Керкера для Ми-частиц, когда отношение сечения деполяризации к транспортному сечению достигает своего минимального значения. В этом случае неупорядоченный ансамбль Ми-частиц выступает в качестве оптического резонатора, увеличивающего длину пробега фотонов в среде без изменения состояния их циркулярной поляризации. Степень поляризации света, прошедшего через рассеивающий образец, может возрастать почти в десять раз по сравнению с однородным образцом того же размера.

Полученные результаты могут послужить основой для разработки нового способа экспериментального измерения величины кругового дихроизма жидких оптических активных сред.

Авторы благодарны А.И.Кузовлеву за интерес к работе и полезные обсуждения.

Работа выполнена при поддержке Программы повышения конкурентоспособности НИЯУ МИФИ (контракт № 02.a03.21.0005 от 27.08.2013).

- Barron L.D. *Molecular Light Scattering and Optical Activity* (Cambridge University Press, 2004).
- Berova N., Nakanishi K., Woody R.W. *Circular Dichroism: Principles and Applications* (New York: Wiley-VCH Publishers, 2000).
- Berova N., Di Bari L., Pescitelli G. *Chem. Soc. Rev.*, **36**, 914 (2007).
- Кантор Ч., Шиммель П. *Биофизическая химия* (М.: Мир, т. 2, 1984).
- Keiderling T.A., Kubelka J., Hilario J., in *Vibrational Spectroscopy of Polymers and Biological Systems* (Boca Raton, FL: CRC Press, 2006).
- Silverman M.P., Badoz J. *J. Electromagn. Waves Appl.*, **6**, 587 (1992).
- Silverman M.P., Badoz J. *J. Opt. Soc. Am. A*, **11**, 1894 (1994).
- Ghosh A., Fischer P. *Phys. Rev. Lett.*, **97**, 173002 (2006).
- Pfeifer M., Fischer P. *Opt. Express*, **19**, 16508 (2011).
- Preda F., Perri A., Réhault J., Dutta B., Helbing J., Cerullo G., Polli D. *Opt. Lett.*, **43**, 1882 (2018).
- Nieto-Vesperinas M., Gomez-Medina R., Saenz J.J. *J. Opt. Soc. Am. A*, **28**, 54 (2011).
- Albella P., Poyli M.A., Schmidt M.K., Maier S.A., Moreno F., Saenz J.J., Aizpurua J. *J. Phys. Chem. C*, **117**, 13573 (2013).
- Schmidt M.K., Aizpurua J., Zambrana-Puyalto X., Vidal X., Molina-Terriza G., Saenz J.J. *Phys. Rev. Lett.*, **114**, 113902 (2015).
- Rodriguez-Fortuno F.J., Engheta N., Martínez A., Zayats A.V. *Nat. Commun.*, **6**, 8799 (2015).
- Kuznetsov A.I., Miroshnichenko A.E., Brongersma M.L., Kivshar Yu.S., Luk'yanchuk B. *Science*, **354**, 846 (2016).
- Verre R., Shao L., Länk N.O., Karpinski P., Yankovich A.B., Antosiewicz T.J., Olsson E., Käll M. *Adv. Mater.*, **29**, 1701352 (2017).
- Wei L., Bhattacharya N., Urbach H.P. *Opt. Lett.*, **42**, 1776 (2017).
- Barreda A.I., Saleh H., Litman A., Gonzalez F., Geffrin J.M., Moreno F. *Nat. Commun.*, **8**, 13910 (2017).
- Valuckas V., Paniagua-Domínguez R., Fu Y.H., Luk'yanchuk B., Kuznetsov A.I. *Appl. Phys. Lett.*, **110**, 091108 (2017).
- Ньютон Р.Г. *Теория рассеяния волн и частиц* (М.: Мир, 1969).
- Van de Hulst H.C. *Light Scattering by Small Particles* (New York: Dover Publications, 1981).
- Kerker M., Wang D.-S., Giles C.L. *J. Opt. Soc. Am.*, **73**, 765 (1983).
- Городничев Е.Е., Кузовлев А.И., Rogozkin Д.Б. *Письма в ЖЭТФ*, **104**, 155 (2016) [*JETP Lett.*, **104**, 157 (2016)].
- Городничев Е.Е., Кузовлев А.И., Rogozkin Д.Б., *Квантовая электроника*, **46**, 947 (2016) [*Quantum Electron.*, **46**, 947 (2016)].
- Gorodnichev E.E., Kuzovlev A.I., Rogozkin D.B. *J. Phys.: Conf. Ser.*, **788**, 012039 (2017).
- Gottardo S., Sapienza R., Garcia P.D., Blanco A., Wiersma D.S., López C. *Nat. Photonics*, **2**, 429 (2008).
- Koman V.B., Santschi C., Martin O.J.F. *Anal. Chem.*, **87**, 1536 (2015).
- Mupparapu R., Vynck K., Svensson T., Burreli M., Wiersma D.S. *Opt. Express*, **23**, 1472 (2015).
- Bohren C.F., Huffman D. *Absorption and Scattering of Light by Small Particles* (Morlenbach: Wiley-VCH Verlag GmbH, 2007).
- Kuscer I., Ribaric M. *Opt. Acta*, **6**, 42 (1959).
- Gorodnichev E.E., Kuzovlev A.I., Rogozkin D.B. *Opt. Commun.*, **260**, 30 (2006).
- Городничев Е.Е., Кузовлев А.И., Rogozkin Д.Б. *ЖЭТФ*, **131**, 357 (2007) [*JETP*, **104**, 319 (2007)].
- Gorodnichev E.E., Kuzovlev A.I., Rogozkin D.B. *Phys. Rev. E*, **90**, 043205 (2014).
- Kokhanovsky A.A. *Phys. Rev. E*, **4**, 4899 (1999).
- Kuzmina M.G., Bass L.P., Nikolaeva O.V., in *Springer Series in Light Scattering* (Cham, Switzerland: Springer, 2018).
- Городничев Е.Е., Кузовлев А.И., Rogozkin Д.Б. *Письма в ЖЭТФ*, **68**, 21 (1998) [*JETP Lett.*, **68**, 22 (1998)].
- MacKintosh F.C., Zhu J.X., Pine D.J., Weitz D.A. *Phys. Rev. B*, **40**, 9342 (1989).
- Bicout D., Brosseau C., Martinez A.S., Schmitt J.M. *Phys. Rev. E*, **49**, 1767 (1994).
- Sankaran V., Everett M.J., Maitland D.J., Walsh J.T. *Opt. Lett.*, **24**, 1044 (1999).
- Van de Hulst H.C. *Multiple Light Scattering* (New York: Academic, 1980).
- Исмару А. *Распространение и рассеяние волн в случайно-неоднородных средах* (М.: Мир, т. 1, 1981).
- Королёв Л.В., Rogozkin Д.Б. *ЖЭТФ*, **113**, 291 (1998) [*JETP*, **86**, 164 (1998)].
- Ghosh N., Pradhan A., Gupta P.K., Gupta S., Jaiswal V., Singh R.P. *Phys. Rev. E*, **70**, 066607 (2004).
- Ghosh N., Gupta P.K., Pradhan A., Majumder S.K. *Phys. Lett. A*, **354**, 236 (2006).
- Zimnyakov D.A., Sinichkin Y.P. *J. Opt. A: Pure Appl. Opt.*, **2**, 200 (2000).